令和7年3月31日現在

研究課題名:運動時における血行動態変化可視化技術の筋電位計測を用いた評価

研究代表者:吉田 慧一郎

小区分:スポーツ科学関連

1. 研究計画の概要

本研究では、市販の汎用一眼カメラを用いて、 血行動態変化の時系列変化を非接触かつリアルタイムで評価できる新たな生体計測手法を開発している。そこで本課題研究では、血行動態変化と運動強度の関係性を解明するために、運動強度を筋電位計測により分類化し反射率変化との関係性を明確にするための技術的基盤を確立し、システムの有用性の検討を行った。

2. 課題研究の進捗状況及び達成度

申請者の実験室に設置されたサイクリング中の画像撮影システムを用いて筋電位計測を実施した。筋電位計測では運動時における筋電位計測を行うために無線型の筋電位センサー(トランクソリューション製,筋電センサーTS-MYO)を用い,コード類などによる有線接続で生じる体動アーチファクトの影響を低減させた状況下での実験を行った。実験では,筋電位センサーを右大腿四頭筋(図1(a))筋ならびに右上腕三頭筋(図1(b))に貼付し,三本ローラー上で60分間の乗車を行った(図2)。





(a) 右大腿四頭筋

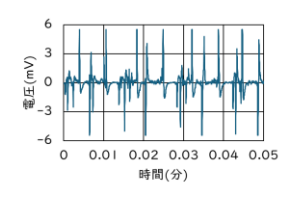
(b) 右上腕三頭筋

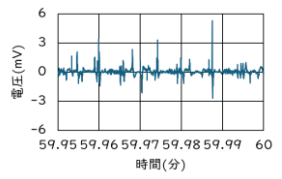
図1 筋電位センサーを用いた筋電位計測



図2 三本ローラーを用いたサイクリング 実験結果の一例を図3ならびに図4に示す。図3の右大腿四頭筋において,実験開始60分経過により筋電位の出力波形(電圧)の減少が確認され

た。一方で、図4の右上腕三頭筋では筋電位の大きな変化は見られなかった。これは、ロードバイクを運転する際の乗車姿勢として、脚部でペダルを回転させ駆動力を生み、上半身はあまり力を入れず体勢を維持することが関係していると考えられ、脚部の疲労による筋電位の変化であることが考えられる。

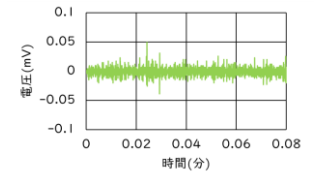


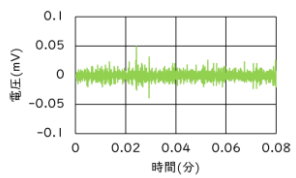


(a) 開始直後

(b) 60分後

図3 筋電位結果の一例(右大腿四頭筋)





(a) 開始直後

(b) 60分後

図4 筋電位結果の一例(右上腕三頭筋)

現状として、本計測システムでは運動強度を細かく変化させることは困難であるため、運動経過に伴う疲労による筋電位変化の測定にとどまっている。そのため、運動強度を任意に変化可能なシステムの考案・構築が課題となる。また一方で、脚部における筋電位変化が観察された。これにより、画像計測による反射率変化との間に関係性があることが示唆されたため、今後の検証により本システムの有用性を確認していく予定である。

3. 代表的な研究成果

〔学会発表〕(計1件)

髙橋蒼空,市川想来,<u>吉田慧一郎</u>,「汎用一眼カメラを用いた血行動態変化可視化の精度評価」, 日本福祉工学会第28回学術講演会,講演論文集 (2024), pp.63-64,査読無.

令和7年3月31日現在

研究課題名:瀬戸内海沿岸域における潮目の観測と水塊構造の調査

研究代表者:吉田 将司

小区分:水工学

1. 研究計画の概要

本研究の目的は、瀬戸内海での海事・水産等の 実務へ貢献するために、海洋の気象海象観測デー タの効率的な収集・分析と活用方法の検討を行う ことである。また無線機器の海上における長期使 用については、できる限り簡易で安価、且つ海上 使用における耐候性を兼ね備える必要があり、実 際に運用し調査することが重要である。第一段階 として、強潮流で知られる山口県大畠瀬戸近辺に おける局地的な現象である潮流の解明を目指す。 この海域では局所的な流れが発生し、沿岸部の気 象海象に大きな影響を与えており、研究対象とさ れている。本研究課題では既知の水温・塩分セン サの定点設置等の海洋環境計測技術に加えて、海 上に水温、塩分、直上気温、湿度、気圧等のセン サを設置したブイを設け、ここから LPWA や LTE 5G 等の最新電波伝送技術を活用した観測データ の収集及び、陸上定点や海上ブイに設置したカメ ラ画像の動画像処理による潮流の境である潮目の 検出や分析、Webによる観測及び分析データの公 開等により、局地的な自然現象の監視と現象解明 に取り組む。なお、本研究では海上の潮目を面 的・定性的に捉えるために、宇部高専長峯研究室 の協力により、動画像強調法の過去フレーム法を 適用した強調画像を利用する。

本研究は新たな観測システムを構築し、周防大島浅海域の2か所以上の定点に観測ノードを設置、 水温・塩濃度の鉛直分布の観測実験を実施する。

図1は本システムの構成を示す。本システムは機能ごとに海上および沿岸部に設置する観測装置、れた観測データを受信、それぞれを各サーバやウ観測データおよび海面画像を取得しサーバ等にアップロードする基地局、アップロードされた画像等データを処理して公開する解析・表示部に分けられる。観測装置には今年度新たに製作されたブロードとこれまで運用されてきた岸壁設置型ノードの2種類があり、ブイ搭載型ノードはで運用している。

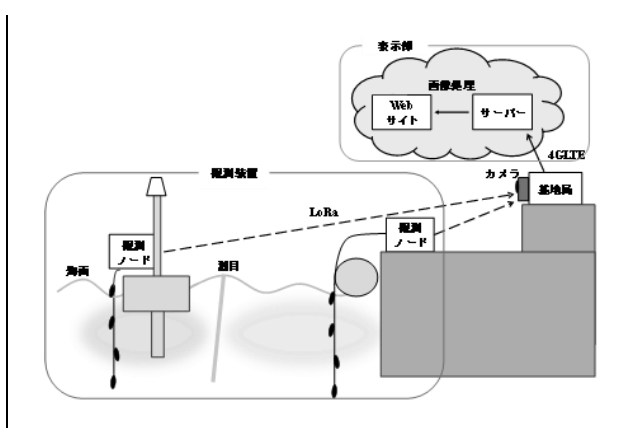


図1 システムの構成図

小型軽量化及び観測の継続性の向上を図るために M5Stack マイコンを採用した。ノードには位置情 報と時刻情報を取得するGPS受信モジュール、多 層の水温、海面周辺の気温、湿度、気圧を計測す るセンサを搭載した。観測データは LoRa 通信モ ジュールにより基地局へ送信される。基地局では 観測装置から送信された観測データを受信し、サ ーバ等へ送信する。また、搭載したカメラにより 定期的に海面画像を撮影し、アップロードする。 表示部ではGoogle スプレッドシートや Web サイト により観測データや撮影した海面画像、画像処理 を施した海面画像を公開する。ただし、観測装置 と基地局の製作を本研究室、その保守を大島商船 高専、また表示部の大部分は宇部高専が担当した。 図2は基地局の構成を示す。製作した基地局で はRaspberry Pi Camera V3 により 5 分あたりに 1 枚 の海面画像を撮影し、並行してノードから送信さ ェブアプリに送信する。処理と制御にはRaspberry Pi 3B+を使用し、通信には4GLTE回線に接続した モバイルルータを使用した。ただし、進捗が遅延 しても観測が継続できるように、後述する従来の 観測システム(観測ノード及び基地局)も並行し

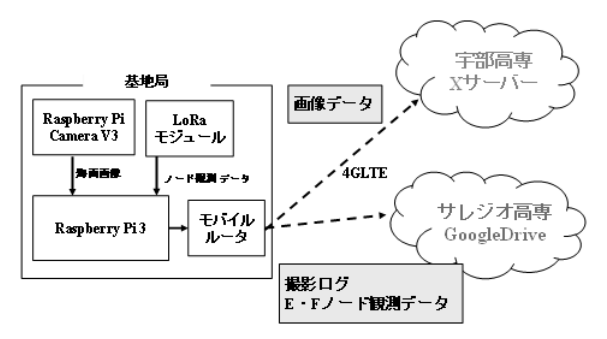


図2 基地局構成図

2. 課題研究の進捗状況及び達成度

本研究では、観測ノード及び基地局を製作し、 8月、10月、11月、12月、2月と現地(大島商船 高専) での観測実験及び機器の調整を実施した。 図3はノード内部及びブイ構成の外観を示す。8 月の実地試験では、センサノードの設置や基地局 との通信に問題がないことを確認したが、ブイヘ の設置方法や電源、水温センサの不具合が課題と して残った。そこでリン酸鉄蓄電池からLiPo(リ チウムイオンポリマー) バッテリ内蔵型のチャー ジコントローラへの変更とノードケースの改良を 行った。12月時には約1か月の継続観測に成功し たが、充電不足に伴う夜間の送信データ停止が頻 発した。そのため2月時にソーラーパネルを増強、 送信間隔を10分に再設定し解決した。図4はブイ の海上曳航試験結果を示す。約 2.5km 離れた対岸 の笠佐島まで曳航した結果、 LoRa にて位置情報 の送信が可能であることを確認した。

次に基地局の運用試験は、8月はRaspberry Piを モバイルルータと Wi-Fi で接続して通信を行った が、システムがすぐ停止するなど動作が不安定で あった。そのためUSB Type-Aによるシリアル通信 で接続できるルータを採用した。また、プログラ ムの停止などのエラー時や、瞬時停電に対応する ため、再起動プロセスを見直し、11月及び12月に 運用試験を行った。試験では基地局を大島商船高 専近くの防潮堤上に設置し、2024年11月23日午後 から2025年1月24日午前までおよそ2か月間運用 できた。ノードの観測データと海面画像を収集し 宇部工業高専が公開するサイトで動画像強調法の 適用前後の画像を表示できた。図5は基地局で撮 影した画像を動画像強調法で処理し、潮目を検出 した画像を示す。潮流が形成する潮目は頻繁に観 測できたが、カメラの設置位置が低かったことで 発生位置の確認が困難であり、また実験日の悪天

候により水塊は観測できなかった。この運用期間中に手動・自動で10回ほど再起動が必要となったものの、電源投入時の処理手法を変更したことで確実な再起動が実現できた。しかし、サーバ上の画像データの一部が上書きされる不具合が発生した。これに関しては2月時に解決できた。

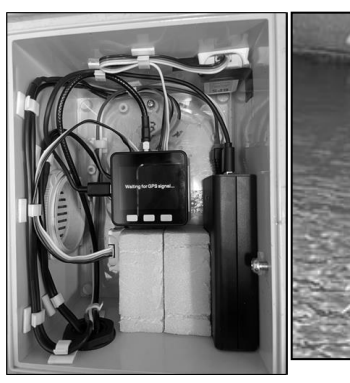




図3 ノードブイの外観(12月時)

ノードの軌跡



曳航試験

図4 ブイの曳航試験結果

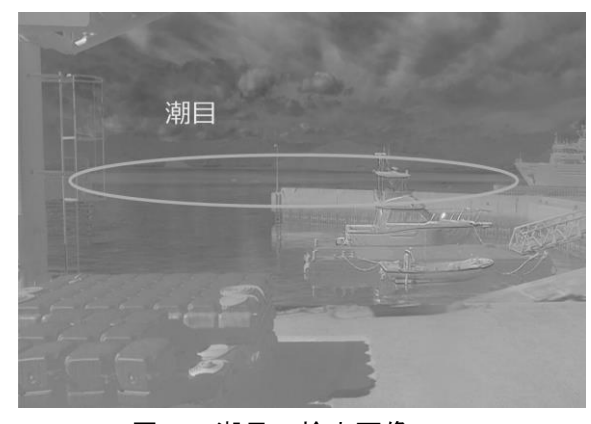


図5 潮目の検出画像

また1月の観測結果より、カメラにて海霧を観測した期間においてノードで取得した各時刻の気圧の値とその変動傾向が、気象庁の公開する実況天気図の等圧線の値や、気団の移動と一致していた。そのため、観測データは周辺の気団の動きを観測できていたと考えられる。気象庁による瀬戸内海の海霧発生に関する調査では、天気図中の高気圧の移動と海霧発生の関連が指摘されており、今後観測時間を拡大することで、境域の天候変化の予測が期待できる。

以上の結果から、当初想定した進捗はほぼ達成できた。しかし塩濃度ノードの再構成及び潮目両端での水温鉛直分布の長期観測が未達成となり、 今後の課題となった。

なお本研究は課題研究費の他、一般社団法人情報通信ネットワーク産業協会主催 高専ワイヤレステックコンテスト2024の技術実証費用助成の一部も使用し実施した。

3. 代表的な研究成果

〔学会発表〕(計2件)

[1] 池田創, <u>吉田将司</u>, "沿岸センサネットワークを利用した周防大島における海象観測システムの構築", 測位航法学会 GPS/GNSS シンポジウム 2024, 査読無, PS-07, 2024.

[2] <u>吉田将司</u>,池田創,山田崚太郎,千葉元,長 峯祐子, "周防大島における極沿岸域海象観測シ ステムの試作",電子情報通信学会総合大会,査 読無,B-15-08, 2025.

令和7年 3月 31日現在

研究課題名:還元熱処理、プラズマ処理、陽極酸化により得られた

各種酸化チタンにおける近赤外発光の比較

研究代表者: 黒木雄一郎

小区分:無機材料および物性関連

1. 研究計画の概要

酸化チタンは多様な用途に使われている代表的 な機能性材料であり、顔料や光触媒の他にもクロ ム添加により赤外発光を示すことが報告されてい る。申請者は、クロム添加、アルミニウム添加お よび無添加の酸化チタンを熱処理することにより いずれの試料においても赤外発光が得られること を報告し、この発光はクロム添加特有のものでは なく、ルチル型酸化チタンの真性欠陥に起因する 可能性を見出した。一方で酸化チタンという良く 知られた材料のバンド構造や真性欠陥と光触媒な どの機能性の発現については現在も活発に議論さ れており、今後も系統的な学術的研究の推進が望 まれている。本申請では、還元雰囲気での熱処理 プラズマ酸化、陽極酸化による酸化チタンセラミ ックスの高濃度酸素空孔導入を検討し、効率的な 欠陥の導入方法に関する指針を得ることを目的と する。これにより赤外発光の強度増大に資する試 料の合成が可能となる。

これまでに、クロム添加、アルミニウム添加お よび無添加のルチル型酸化チタン粉末試料の合成、 室温及び極低温フォトルミネッセンス測定による 発光特性の評価、格子欠陥の推定、電子の励起・ 緩和過程の解明、分子動力学計算による欠陥構造 の推定と安定度の評価、等について研究を推進し てきた。今年度は以下の項目について研究を推進 した。

【酸化チタンへの高濃度酸素空孔導入】

i. 環元雰囲気での熱処理

これまでに実績のある従来型の熱処理法(1100度 2時間、大気中) に還元性雰囲気 (Ar-3%H₂ガス 購入)を導入し、酸化チタン粉末の環元処理を検 討した。

ii. プラズマ酸化処理

2023年度の予備実験の結果、純チタン板にアルゴ ンと酸素の混合雰囲気からなる大気圧プラズマを 照射すると、その表面に干渉色が発現することを | 前の試料はわずかに緑がかった白色であった。ま

見出した。本研究では、生成した物質の同定およ びプラズマ酸化処理条件を変化させた試料の発光 特性をはじめとした諸物性の評価を行った。

iii. 陽極酸化処理

水の電気分解の際に陽極に純チタン板を使用する ことでその表面が酸化される。これを陽極酸化と 呼ぶ。この方法により酸化チタンを合成し、生成 相および発光特性を評価した。

2. 課題研究の進捗状況及び達成度

【酸化チタンへの高濃度酸素空孔導入】

i. 還元雰囲気での熱処理の結果(100%)

酸化チタンと硝酸クロム(Ⅲ)九水和物を金属 元素比が99.925:0.075となるように秤量した。酸 化チタンに硝酸クロム水溶液を加え、2時間湿式 混合を行った。乾燥後、得られた混合粉を電気管 状炉で熱処理した。熱処理条件は1100℃、2時間、 空気中とした。また、得られた試料に、さらに還 元雰囲気熱処理を施した。熱処理条件は、500℃ ~1100℃、 2 時間、アルゴン・水素混合ガス(水 素 3 %)、流量は 200ml/min とした。比較のため に 600 ℃、2 時間、空気中で熱処理した試料も用 意した。



図1 還元処理後の試料の外観写真

得られた試料の外観写真を図1に示す。熱処理

た、空気中で熱処理を行った試料は茶色に変化した。アルゴン・水素混合ガス中で1100℃処理を行った試料以外は、空気中で熱処理した試料と比べて、より明るい黄色となり、内側まで均一に色が変化していた。これは、空気中での熱処理と比較して、還元が進んだため色が明るくなったと考えられる。しかし、アルゴン・水素混合ガス中で1100℃処理を行った試料は灰色に変化した。

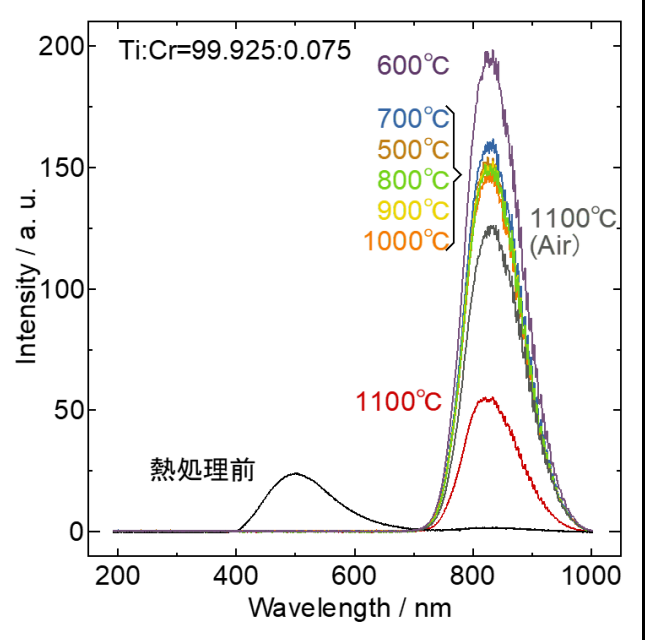


図2 還元試料のPLスペクトル

図 2 にPLの測定結果を示す。未処理の場合、430nm 付近にピークが見られた。一方、熱処理を行った試料では 830nm 付近にピークが観測された。アルゴン・水素混合ガス中で 800 $^{\circ}$ $^{$

図3に還元熱処理によって得られた試料の発光強度と処理温度の関係を示す。処理温度が600℃の時に発光強度が最も高くなることがわかった。このことから、適切な処理温度により発光強度が上昇することが明らかとなった。しかし、1100度で過剰に還元を行った場合、酸化チタン内の酸素原子が還元され、チタン原子の割合が増加することでバンド構造が変化した結果、発光強度が減少したものと推測される。

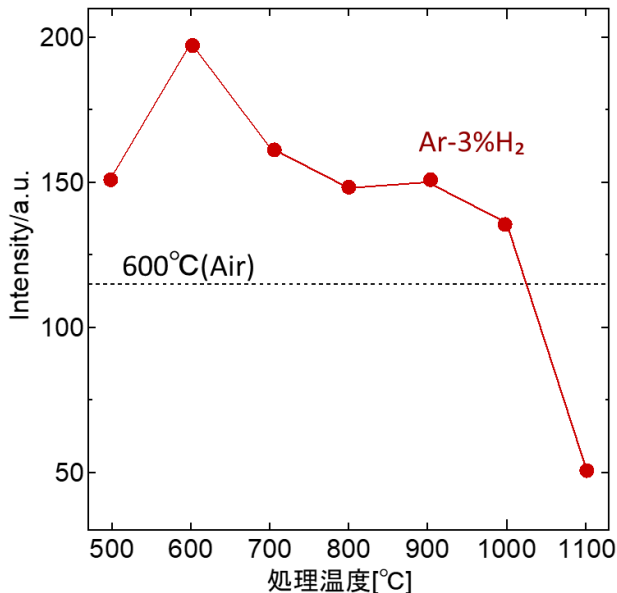


図3 処理温度と発光強度の関係

ii. プラズマ酸化処理 (50%)

(1) 試験片の準備

厚さ 0.2mm の金属チタン板を裁断機を使用して $20 \times 20mm$ に切り出した。アセトン→プロパノール → 精製水の順番でそれぞれ10分間ずつ超音波洗浄を行った。

(2) プラズマ処理

処理条件を表1に示す。各種条件で先端が鋭角な電極と平坦な電極を使用し、プラズマ処理を行った。 TIG トーチの先端から試験片表面までの距離を 1mm に設定した。Arガス、02ガスを電極と試験片の間に流入し、100Vの交流電圧を交流高圧電源を使用して10kVに昇圧、印加することでプラズマを発生させて処理を行った。

表1 プラズマ処理条件

	総ガス流量 [L/min]	ガス比率 (Ar∶0₂)	印加電圧 [kV]	処理時間 [min]	
条件①		9:1			
条件②	6. 5	7. 7:2. 3	10	12	
条件③		7:3	10	12	
条件④	3. 25	7. 7:2. 3			

各種条件で12分処理を行ったチタン表面の写真を図4、拡大したものを図5に示す。すべての条件で干渉色と、中心部分と外周部分の表面状態の差を確認した。条件①ではそれぞれの電極で処理時間の増加に従って処理範囲と外周部分の酸化膜の厚さが増加した。12分の時点で先端平坦の場合は干渉色から25nm~125nmの膜厚

であることを確認した。先端鋭角の場合は25nm~175nmであった。条件②では、条件①の膜厚と大きな差はなかったが、外周部の酸化膜が斑点状になっており、干渉色が薄くなった。条件③では、175nm以上の酸化膜の範囲がより広い範囲で確認できた。条件④では約75nm以上の酸化膜は確認できなかった。 XRD とPL測定の結果、すべての条件で酸化相のピークや発光は確認できなかった。条件③で最も分厚い酸化膜を形成できたことから、今後は、条件③を初期条件として各種パラメータの最適化が望まれる。

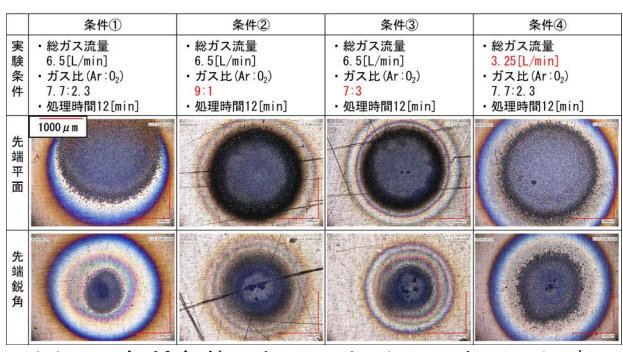


図4 各種条件で処理したチタン表面の写真

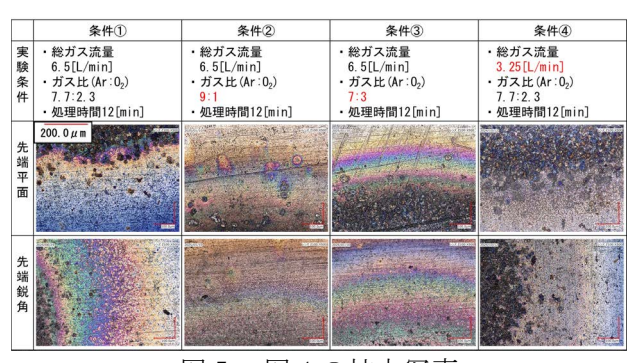


図5 図4の拡大写真

純度99.5%の金属チタン板(厚さ 0.2mm)を

iii. 陽極酸化処理 (50%)

10×20mmに切断した後、アセトン、2プロパノール、精製水の順で各5分ずつ超音波洗浄を行った。次に、陽極酸化に使用する溶液を2種類用意し、試験紙および試験器を用いてpHを確認した。1つ目の溶液【条件1】は、アルカリ電解水(商品名:水の激落ちくん)を溶液:水=1:4(40mL:160mL)で混合したもので、pHは12.6であった。2つ目の溶液【条件2】は、硫酸水溶液(濃度0.5mo1/L)を硫酸原液(98%):水=2.73mL:97.27mLの比率で混合したもので、pHは2.1であった。陽極酸化処理では、処理電圧を

10V, 15V, 20V, 25V, 30Vに設定し、処理時間は各

5分とした。その後、【条件1】と比較して【条件2】の方がより厚い酸化膜が形成されることが確認されたため、【条件3】として、【条件2】と同様の硫酸水溶液を使用し、処理電圧を40V,50V,60V,70V,80V,90V,100Vに増加させた実験を行った。陽極酸化は、チタン板を陽極側に、ステンレス板を陰極側に配置し、通電を行った。

陽極酸化後に試料の表面を目視で確認したところ、すべての試料で色の変化が見られた(図6)。また、形成された酸化膜の色を基に膜厚を評価した結果、陽極酸化処理電圧の上昇に伴い膜厚が増加していることが確認された。

電圧 倍率	未処理	40V	50V	60V	70V	80V	90V	100V
100倍								
500倍					TO SERVICE SER			
1,000 倍						io		
色	灰色	白色	白茶色	黄色	黄紫色	紫色	青緑色	緑色
膜厚	なし	70nm	80nm	90nm	100nm	110nm	120nm	130nm

図6 各種電圧で陽極酸化処理したチタン板の 光学顕微鏡写真

XRD より、【条件 1,2,3 】で得られた全ての試料が、Tiであることを確認した。しかし、【条件 3 】の 90,100V では新たにアナターゼ型 TiO2の微小なピークが出現した。PL測定の結果、【条件 1,2,3 】において赤外発光は観測されなかった。ラマン散乱分光測定では膜厚が薄いため酸化膜の評価が困難であった。テスタを用いた電気的特性の評価では、【条件 1,2 】で作製した試料が金属的な特性を示すことが確認された。一方、【条件 3 】のアナターゼ相を含んだ試料の一部の測定点では、絶縁性を持つ可能性が示唆された。

3. 代表的な研究成果

〔学会発表〕(計5件)

[1] 臼井啓裕, 黒木雄一郎, "還元雰囲気下で熱処理したクロム添加酸化チタンの発光特性"東京工科大学サステイナブル工学研究会、R6.11.30、発表番号 D24

[2] 成田樹央, 黒木雄一郎, "陽極酸化チタン板の電気的特性"東京工科大学サステイナブル工学研究会、R6.11.30、発表番号 E24

- [3] 臼井啓裕, 黒木雄一郎, "クロム添加酸化チタンの発光特性に及ぼす雰囲気の影響"大学コンソーシアム八王子学生発表会、 R6.12.8 、発表番号C214
- [4] 成田樹央, 黒木雄一郎, "陽極酸化処理を施したチタン板の電気的特性の評価"大学コンソーシアム八王子学生発表会、R6.12.8、発表番号B118
- [5] 馬場瞭英, 黒木雄一郎, "スポット型大気圧 プラズマ装置による金属チタンの酸化挙動"大学 コンソーシアム八王子学生発表会、 R6.12.8 、発 表番号C225

令和7年3月24日現在

研究課題名:異常波浪でも運用可能な革新的波力発電装置の開発

研究代表者:山下健一郎

小区分:電力工学関連

1. 研究計画の概要

本研究課題は、我が国に潜在する膨大な波浪エネルギーを活用できる新しい発電技術を開発するものである。波力発電は欧州を中心に研究・開発がなされているが、台風等の異常波浪を想定した装置は存在しない。また、波浪エネルギーの大きさは波の幅に比例するが、発電装置のコストは装置体格の2~3乗に比例して増大する為、小型

(低コスト)で高出力な装置が望まれている。筆者らはマグナス効果(流体中の回転体に揚力が働く現象)により駆動するタービンを波の力で上下動させて発電するマグナス波力発電装置を提案しており、理論的検討によって、同装置が小型・高出力で、異常波浪時にも運用可能であることを明らかにしている。

当該研究ではこれまでに明らかにした提案装置 に関する理論的検討の結果を裏付けるため、小規 模な供試装置を製作し、同装置を用いた実証実験 を実施する。当該研究の具体的な内容を以下に示 す。

- ① 港湾等で多く観測される波高 0.5m 、周期3s の波を想定し、シミュレーションを用いて試 作機(1kW)の設計を行う。
- ② 設計値を元に試作マグナスタービン発電機や 同タービン発電機の制御装置を製作し、実験 に必要となる計測装置の開発を行う。
- ③ ①、②で開発した装置等を用いて実験環境を整備し、風洞や実験用学内プールを用いた実験を行う。
- ④ 得られた実験結果を用いて必要な改良を行う。
- ⑤ 改良や実験を繰り返し、シミュレーションに よる計算結果との比較検討を行う。

以上の研究成果によって、「マグナス効果を用いたポイント・アブソーバ型波力発電装置」の有用性を明らかにし、日本の海洋再生可能エネルギー

利用を推進する。

2. 課題研究の進捗状況及び達成度

当該研究で実施した①試作機の設計、②試作機 及び計測システムの開発、③実験環境の整備と実 験、④試作機の改良、⑤実験とシミュレーション との比較のそれぞれについてその詳細を説明する。

① 試作機の設計(達成度100%)

Matlab/Simulink を用いたシミュレーション により、定格出力 1kW のタービンの寸法等 を計算し、 CAD を用いて全体の設計を行っ た。

② 試作機及び計測システムの開発(達成度 90%)

CAD を基に重量約 600kg の供試マグナスタービンと 2.5m の円柱フロートを製作した。また、加速度センサーを用いたフロート変位計測システム、モータ制御システム、発電機制御システムを製作し、試作機に付与した。発電機制御システムは時間の問題で完成には至らず、発電機出力を整流した後、可変抵抗で出力を調整する方式とした。

- ③ 実験環境の整備(達成度 0 %) 製作した試作機が全長約 5m、重量約 670kg となったため、風洞や学内プールでの実験は あきらめ、海洋技術安全研究所のプールを使 用することとした。初回の実験までには試作 機が完成しなかったため、波の高さを測定す る波高計の精度確認と共振現象に関する検証
- を行った。
 ④ 試作機の改良(達成度 20 %)
 波高計については十分な精度が得られたため、
 その後の調整は不要となった。また、共振現象に関する検証の結果、簡易計算により、共振周波数をある程度の精度で計算できることが分かった。なお、試作機については初回実

験までに装置が完成しなかったため、改良を 行う時間を取ることができなかった。

⑤ 実験とシミュレーション(達成度 60 %) 実験では設計点からややずれた条件での共振 を確認することができた(後の検討により、 付加質量を考慮する必要のあることが判明し た)。しかしながら、共振が起こる前にター ビンブレード駆動用の機構が破損してしまい、 共振時の出力を測定することはできなかった。 実験において、非共振時の出力は数W程度 であったが、シミュレーションにより非共振 時の出力を計算した結果、10W程度となった ことから、シミュレーションモデルの妥当性 をある程度確認することができた。また、同 装置は非共振時にはあまり出力が得られない が共振時には大きなエネルギーが得られる可 能性のあることが判明した。

3. 代表的な研究成果 〔学会発表〕(計1件)

Ken-ichiro Yamashita and Seina Takekoshi,
Performance Improvement of a Magnus Effect- Based
Turbine Generator for a Point Absorber Wave Energy
Converter, 27th International Conference on Electrical
Machines and Systems (ICEMS2024) 查読有, 2024年
11 月

令和7年 4月15日現在

研究課題名:キラルなポリ酸に対する弱い分子間相互作用を利用する立体選択的単離法の実証

研究代表者:サレジオ工業高等専門学校 一般教育科 講師 飯島 淳

小区分:無機・錯体化学関連

1. 研究計画の概要

「キラリティ」は、立体化学に代表される基礎 自然科学の学問的興味だけでなく、重要な化学的 性質の1つでもあり、化学、物理、生物、医学、 薬学、農学、材料科学等、多くの分野と密接に関 わっている。そして、キラリティをもつ「キラ ル」な化合物が、分子メモリー、キラル認識、偏 光フィルム、生理活性物質等に応用されることで、 産業界の発展に寄与し、人類の生活をさらに豊か に便利にする。

「ポリ酸(POM)」は、遷移金属イオンと酸化物イオンからなる無機金属酸化物クラスター分子であり、構成金属、分子サイズ・構造を容易に制御できる。これまでに、ケギン、ドーソン、アンダーソン型等の様々な構造、レドックス、フォト/エレクトロクロミズム、発光、触媒、イオン/電子伝導、単分子磁性、生理活性等の多様な物性が見出されている。一般的な金属酸化物を組み合わせたデバイスや機械は、既存の性質を利用することで現代工業の根幹を成しているため、 POM も次世代の中心物質として大きな貢献を果たすことが期待されている。

その中で、キラルな POM の研究は、合成・構造化学の成果は蓄積されているが、エナンチオマーの単離は未成熟で、その物性を利用する応用研究は未開拓である。通常 POM は、水溶液中で加水分解や流動的分子構造変化を起こす。結果として、エナンチオマー骨格は作れても、その後に化学的な処理を行わなければラセミ化し、最終的には単一のエナンチオマーを単離できず、ラセミ体が単離される。

ラセミ体の POM のみが単離されてきた学術研究の問題点を考えると、「<u>なぜラセミ体が単離されるのか</u>」、「<u>なぜラセミ化が起きるのか</u>」という 2 点が、キラル POM 研究における <u>最 大 の「間 い」</u>である。二種類のエナンチオマーを 1:1で含むラセミ体として単離された既報の

POM は、当然、ラセミ体の物性を示すため、「どのようにすればエナンチオマー単独の物性を発現させられるか」という新たな「**問い**」も派生する。しかし、エナンチオマーを獲得できれば、それがもつ物性を利用できるようになり、派生課題も同時に解決できる。つまり、機能性キラル無機材料として新しいマテリアルシーズを提供できる。

本研究では、ラセミ体としての単離が報告されている様々なキラル POM に、自らが開発した弱い分子間相互作用によるエナンチオマー構造固定化法を適用させて、エナンチオマーの獲得を実証し、ラセミ化の原因の特定とキラリティ発現メカニズムの解明、エナンチオマーが発する物性の評価を行う。

2. 課題研究の進捗状況及び達成度

合成と元素分析が比較的容易で、ラセミ体の報告があるキラル POM ([MnMo₉O₃₂]⁶⁻(図 1)) のエナンチオ選択的単離に取り組んだ。

弱いジアステレオメリック相互作用を与えるキラリティ指向剤(CC)として、シクロデキストリン(CDX)を採用した。
CDXでは、D-グルコー

スが環構造を形成し、グ ルコース数によって、環 の内径が異なるα、β、γ

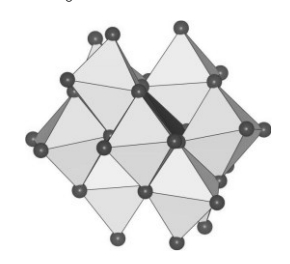


図 1 : [MnMo₉O₃₂]⁶⁻の分子構造

図2:実験に用いる3種類の CDX

の三種類が知られている(図2)。つまり、キラル

POM の大きさ(ファンデルワールス体積)と CDX の環の口径の大きさ、並びに CDX を構成 する D- グルコースのキラリティと POM のキラリティに依存する弱い立体選択的相互作用が期待できる。予備実験では、既報のラセミ体 POM とは異なり、 CDX の種類に依存した結晶が得られていた。

「実験」

既報に従って $[MnMo_9O_{32}]^6$ を合成し、結晶化前の反応溶液に、 α 、 β 、 γ -CDX を Mn に対して、mol 比で 3 倍等量加えたのち、30分間室温で撹拌した。溶け残った CDX をろ過し、ろ液を室温で放置することで、 α -CDXを添加した系では、オレンジ色の直方体状の結晶(α -CX)、 β -CDXを添加した系では、白色の柱状結晶(β -CX)、 γ -CDXを添加した系では、オレンジ色の平行六面体型結晶 (γ -CX)を単離した。

「結果と考察」

得られた 3 つの結晶に対して、IR スペクトルを 測定した。 α -CX では、 $[MnMo_9O_{32}]^6$ と、 α -CDX 由来のピークが同時に観測され、 $[MnMo_9O_{32}]^6$ と α -CDX の共結晶であることが示唆された。 β -CX では、 β -CDX 由来のピークのみが観測され、結晶 の色が白色であることも併せて、 β -CX は、反応 溶液に添加した β -CDXのうち、わずかに溶解した ものが再結晶して結晶化したものであると考えら れた。さらに γ -CX では、 $[MnMo_9O_{32}]^6$ 由来のピ ークのみが観測され、結晶の色がオレンジ色であ ることも考慮すると、 $[MnMo_9O_{32}]^6$ が既報通りに 結晶化したものであると考えられた。

これらの結果により、 α -CX は、新規の結晶である可能性が高いため、続いて単結晶 X線回折測定を行い、結晶構造解析を試みた。結晶構造解析の結果、カウンターカチオンとして導入している K^+ に disorder が多く発生した非常にゆらぎの大きな結晶であることが分かった。さらに、驚くべき事実が判明した。 CDX はD-glucoseのみを環状に結合させたものである。ゆえに、D-glucoseと、D-[$MnMo_9O_{32}$]6 がジアステレオメリック相互作用をすることで、D-glucoseと D-[$MnMo_9O_{32}$]6 が結晶化した共結晶が得られ、結果として、

 $D-[MnMo_9O_{32}]^{6-}$ と $L-[MnMo_9O_{32}]^{6-}$ が分離されて、いずれかのエナンチオマーが単離されることを、

実験当初は予測していた。しかしながら、得られた α -CX 結晶は、 D-[MnMo₉O₃₂] 6 と

L-[MnMo₉O₃₂]⁶が、7:3で含まれたラセミ固溶体の状態であることが判明した。通常は、CCとして導入している物質のキラリティが、ラセミ体に波及し、CCのキラリティと同一のエナンチオマーが単離されるか、CCのキラリティと同一のエナンチオマーが CCによって捕捉され、結果として、逆のキラリティをもつ POM のエナンチオマーが CCによって捕捉され、結果として、逆のキラリティをもつ POM が単離されることが予想できる。しかしながら、本研究で得られた結果は、通常働くジアステレオメリック相互作用が十分に働かず、キラリティの統一が不十分だったことによって、ラセミ体がラセミ固溶体に変化するにとどまったものであると考えられた。

「結論」

[MnMo₉O₃₂]⁶⁻ の反応溶液に α 、 β 、 γ -CDX をそれぞれ添加することによって、3 種類の結晶を得た。IRスペクトルの結果から、 α -CDXを添加して得られた結晶(α -CX)には、[MnMo₉O₃₂]⁶⁻ と α -CDX が共に含まれていることが示唆された。また、 β -CDX を添加して得られた結晶(β -CX)は、 β -CDX を添加して得られた結晶(γ -CX)は、[MnMo₉O₃₂]⁶⁻ が結晶化したものであることが示唆された。

また、単結晶 X 線構造解析の結果、 α-CX は新 規結晶であり、 D-[MnMo₉O₃₂] $^{6-}$ と L-[MnMo₉O₃₂] $^{6-}$ が、7:3の割合で含まれていることが明らかと なった。実験当初は、 CDX からジアステレオメ リック相互作用が POM に働いて、 POM のキラ リティが統一され、エナンチオマーが単離される ことを想定していた。しかしながら CDX のキラ リティが十分に波及せず、ラセミ体から、部分的 にキラリティが統一されたラセミ固溶体としての 単離にとどまったと考えられる。ジアステレオメ リック相互作用が働くために十分な量の CDX を 添加しているにも関わらず本現象が生じたことは、 極めて稀であり、理学的には非常に興味深い現象 であるのの、工学的には、注意を要する現象とし て扱わなければならない事例の可能性がある。今 後は、引き続き解析を続け、本研究で得られた結 晶の全容を解明し、なぜこのような不十分なキラ リティ統一が生じたのか、そのメカニズムを解明 して、キラル POM の立体選択的単離に生かして

いきたいと考えている。

- 3. 代表的な研究成果 〔雑誌論文〕(計0件)
- 準備中

〔学会発表〕(計0件)

・準備中

令和7年3月31日現在

研究課題名:小型モビリティ等の長時間駆動へ寄与する

世界初の独立型交流電池を組み込んだ電源システムの開発

研究代表者: 米盛弘信

小区分:電力工学関連

1. 研究計画の概要

本研究は、世界初の独立型交流電池に接続する 昇圧回路の性能向上、およびスタート&ストップ 動作の繰り返しによって電池へ過負荷がかかるロボット掃除機や小型モビリティを対象に提案システム(交流電池+昇圧回路)を実装した際の駆動時間の評価を目的とする。目的達成のために、交流電池部におけるスイッチング回路の最適化、および昇圧回路の大容量化を図る。そして、従来の直流方式と比較して、提案方式が電池に蓄電されたエネルギーを最大限使用できることを示す。以上より、低炭素化社会のキー技術である蓄電池システムの性能向上を実現する。本研究が進むことによって、世界中で強力に進められている車等の電動化へ大きく寄与できる。

2. 課題研究の進捗状況及び達成度

研究成果の中から代表的な一例を示す。達成度 としては、概ね順調であった。

➤ EDLC のインピーダンス特性が倍電圧整流回路の電力変換効率に与える影響

本実験では、インピーダンスが近似するように構成した1000F-10直列ユニットを使用して①~④の手順で倍電圧整流回路の電力変換効率を調査し先行研究と比較する。

- ① 図1のように各機器と素子を接続する。
- ② 直流安定化電源の出力を 12.6V-8.0A に設定し 1000F
- ③ 10直列ユニット C_1 , C_2 を満充電にする。
- ④ 模擬交流電池の周波数を 10kHz に設定し、電子負荷の電流を0.1Aステップで変化させた際の入出力電力をパワーアナライザで測定する。
- ⑤ パワーアナライザで測定した入出力電力より 電力変換効率を算出する。

図2に倍電圧整流回路に1000F-10直列ユニット する 18650 リチウムイオン電池全てについて、未を用いて10kHzで動作させたときの電力変換効率 使用時のコール・コール・プロットを測定した。を示す。図2より、電力変換効率は最大で94.7% 次に、充放電回路を用いて充放電を29回行い、電

となった。先行研究で算出された電力変換効率が最大値で88.6%であったことから,1000F-10直列ユニット C_1 , C_2 によって倍電圧整流回路の電力変換効率を向上させることができた。

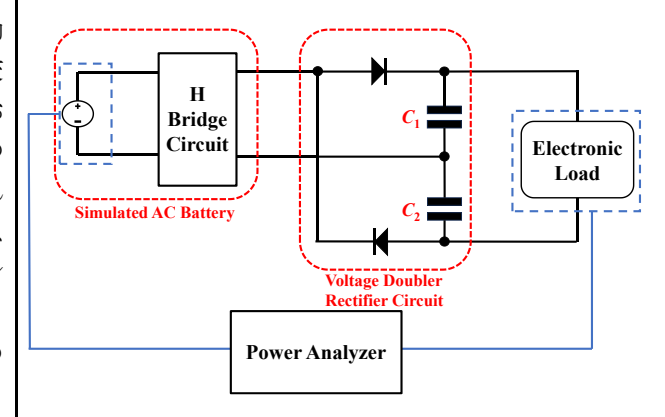
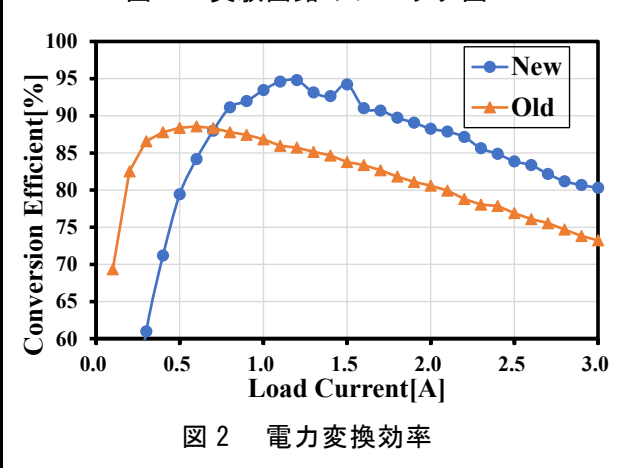


図1 実験回路のブロック図

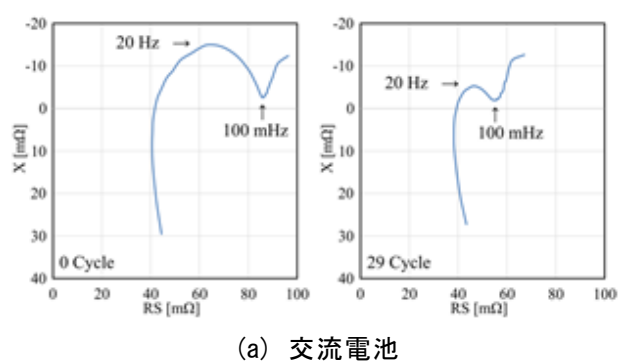


▶ 交流電池と直流電池の充放電に伴う劣化特性 の比較

本実験では、交流および直流電池の劣化を明らかにするためにケミカルインピーダンスアナライザ (HIOKI、IM3590)を用いてコール・コール・プロットの測定を行った。最初に、実験に供する 18650 リチウムイオン電池全てについて、未使用時のコール・コール・プロットを測定した。 かに 布放電回路を用いて充放電を29回行い 電

池を意図的に劣化させた。このとき,恒温器を用いて電池を 38 \mathbb{C} の一定温度下に設置する。充電は定格充電電圧に達し,かつ充電電流が $100\,\mathrm{mA}$ を下回るまで,放電は電池内の過放電防止用の保護回路が働くまで行った。その後,実験に供した電池のコール・コール・プロットをもう一度測定し,充放電回数の増加に伴う劣化特性を確認した。測定点は $10\,\mathrm{mHz}\sim5\,\mathrm{kHz}$ までの $50\,\mathrm{fz}$ とした。

図 3 に実験に供した電池のコール・コール・プロットを示す。 C-B 間,B-A 間で劣化に有意な差が見られず,直流電池についても電池 α , β の劣化特性はほぼ同一であったため,本稿では模擬交流電池の C-B 間と,直流電池の電池 α のコール・コール・プロットを示す。それぞれ, (a) が交流電池, (b) が直流電池である。図中左側が未使用時,右側が29回充放電後の結果となる。直流電池と交流電池の結果を比較すると,交流電池の方が充放電回数の増大に伴うコール・コール・プロットの変化が大きいことがわかる。



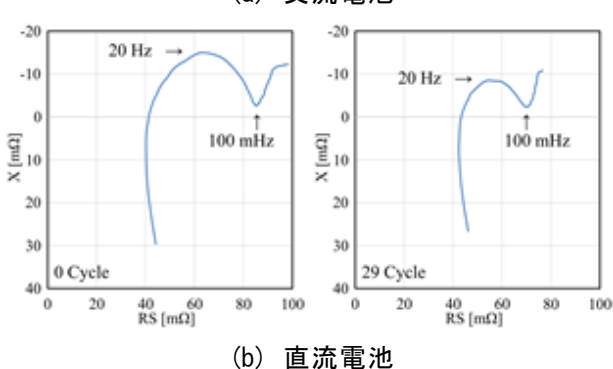


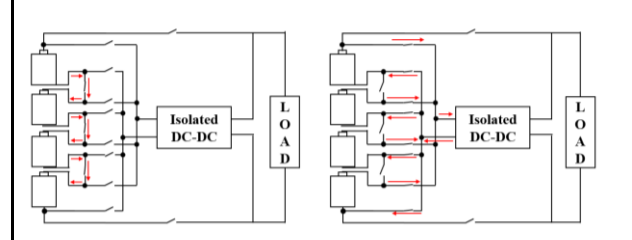
図3 充放電に供した電池の

コール・コール・プロット

▶ リチウムイオンバッテリの高効率利用に向けた回路の提案

図4は、提案する直並列切換型アクティブ・バランス回路である。この回路の特徴は、スイッチ

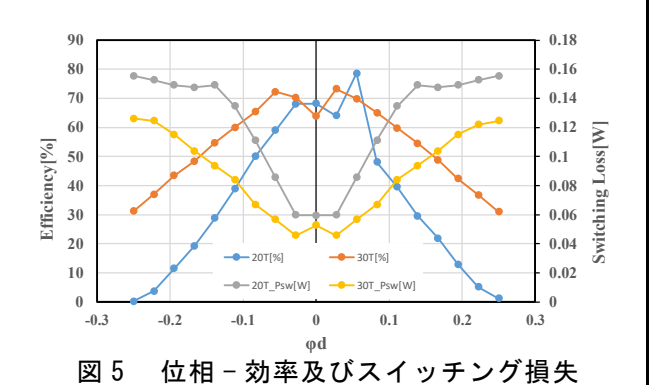
により電池を直列と並列に切り替えることが可能な点がある。充電率のばらつきが大きい場合は, 電池を並列接続に切り替えることで全セル同時に バランス充電を行うことができる。また,放電が 進行した際に並列接続へ切り替えることにより, 直列接続よりも低インピーダンスで放電できる。 そのため,セルのエネルギーを最大限利用するこ とができると考えた。



(a) 全セルの直列使用 (b) 全セルの並列使用 図 4 直並列切換型アクティブ・バランス回路

試作した DAB コンバータについて、位相 ϕ を変化させた際のスイッチング損失の測定を行う。 実験条件としては、電子負荷 CV モード 3V ,直流安定化電源 CV モード4.5Vに設定する。スイッチング周波数は 21.3kHz とし、位相を -90 度から90度まで10度ごとずらした際のスイッチング損失を測定する。

図5に位相-効率、およびスイッチング損失を 示す。縦軸は効率と電力、横軸は360度を1とし て正規化した位相である。また, 基準相に対して 制御相の位相を遅らし、1次側から2次側への電 力伝送は 0< φとし、基準相に対して制御相の位 相を進めて、2次側から1次側への電力伝送は 0> φとする。 20T トランスを使用した DAB コ ンバータは最大効率約78%, 最低効率約0.16%, 平均効率34%であった。30Tトランスを使用した DAB コンバータは最大効率約73%, 最低効率約 30%, 平均効率54%であった。最大効率は30Tト ランスが 5% 低いが、平均効率は20%高い結果と なっている。スイッチング損失においては、20T トランスを使用した場合、最大損失は 0.15W, 最 低損失 0.059W であった。30Tトランスを使用し た場合, 最大損失は 0.12W, 最低損失 0.045W で あった。スイッチング損失に関しても全体的に 30Tトランスの損失が低いことが分かった。1次 側から2次側へ送られる送電電力の式から考える と,漏れインダクタンスが増加すると送電電力が 減少するため、ハードスイッチングによるスイッチング損失が低下していると考察できる。また位相の増加に伴う効率低下は、 DAB コンバータの特性上、 ϕ が増加すると無効電力が増加するためであると考察できる。

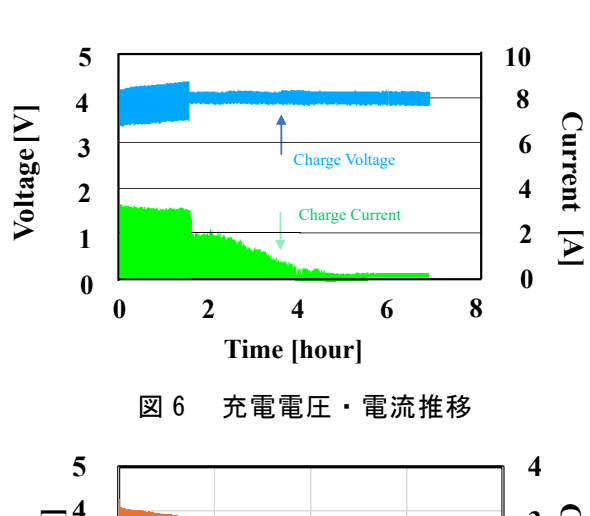


▶ 交流電源を用いた交流電池充電システム 本実験では、市販のリチウムイオン電池(定 格: 3.7 V 2600 mAh) 2 個を直列接続して, 2 個 の電池の間を Biode 極と見立てることで交流電池 の模擬を行う。充電中の C-B 間と B-A 間の切り替 えについては、インバータからの交流をダイオー ドによって分割することで流路の切り替えを行い。 スイッチング回路とする。充電システムの設定は 定電流充電時の出力電流値を 3A 一定とし、定電 圧充電時の出力電圧値を 4.4 V 一定とする。放電 は電子負荷を用いて定電流放電を行う。また、放 電電流の設定は模擬交流電池の容量に対して 0.5 C相当である 2.6A の定電流放電とする。本実験 では水力発電機の代替として交流電源を用いた。 充電に供する交流電源の出力設定は 10 Vrms : 40 Hz の定電圧出力とした。通常, 交流電池の放 電は交流で行うが, 本実験では実験装置の都合に より直流放電とした。充放電時の各電池の両端電 圧と電流はメモリハイコーダを用いて記録した。

図6に充放電実験における充電電圧・電流推移を示す。模擬交流電池のC-B間とB-A間がほぼ同じ推移を示したため、図6ではC-B間のみを表示している。図6の1時間35分経過時点において、電池の端子間電圧が4.2Vに達したことにより充電制御方式が定電流充電から定電圧充電に切り替わっている。そのため、システムがCCCV制御で動作していることが確認できる。充電時間については、満充電に至るまでは6時間51分を要した。

交流電源からの入力電圧および流入電流より充電 に使用された電力量を計算すると 20.1 Wh であった.

図7に放電実験における電池端子間電圧・出力電流推移を示す。図7において、1時間36分地点にて電流値が急落している。これは、電池の端子間電圧が放電限界に達したことにより過放電防止用の保護回路が作動し、放電経路が遮断されたためであり放電が終了したことを意味する。放電時の電池端子間電圧および出力電流より電池に充電された電力量を計算すると15.2 Whであった。以上の充放電結果から充電電力効率を計算すると75.8%であり、本システムの充電効率は先行実験におけるリニア・レギュレータ方式の充電システムと比較して大幅に向上したといえる。



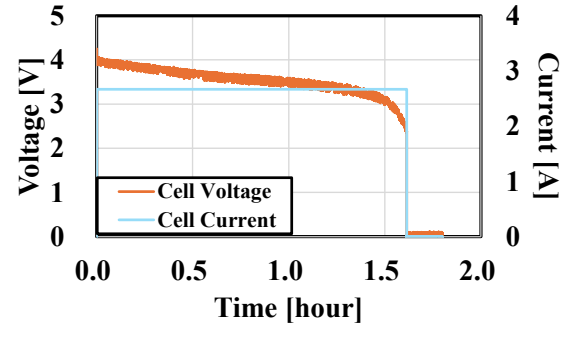


図7 放電電圧・電流推移

3. 代表的な研究成果

〔学会発表〕(計 12 件)

- (1) 荒巻匡洋, <u>米盛弘信</u>: "交流電源を用いた交流電池充電システムにおける充電効率の上昇", 2024年(第6回)電気設備学会学生研究発表会プログラム・予稿集, D-9, 査読無, pp. 93-94, 愛知工業大学(2024-12)
- (2) 遠藤祐弥, <u>米盛弘信</u>: "EDLCのインピーダン

- ス特性が倍電圧整流回路の電力変換効率にう 与える影響", 2024年(第6回)電気設備学 会学生研究発表会プログラム・予稿集, A-8, 査読無, pp. 15-16, 愛知工業大学(2024-12)
- (3) 中田悠介, <u>米盛弘信</u>: "交流電池と直流電池 の充放電に伴う劣化特性の比較", 2024年 (第6回)電気設備学会学生研究発表会プロ グラム・予稿集, C-1, 査読無, pp. 51-52, 愛知工業大学(2024-12)学生研究発表会準優 秀賞
- (4) 松崎恵太, <u>米盛弘信</u>: "直並列切換型アクティブ・バランス回路の提案と DAB コンバータの効率改善に向けたスイッチング損失の測定", 2024年(第6回)電気設備学会学生研究発表会プログラム・予稿集, C-2, 査読無, pp. 53-54, 愛知工業大学(2024-12)
- (5) 荒巻匡洋, <u>米盛弘信</u>: "交流電源を用いた交流電池充電システムにおける充電効率の改善", 第16回大学コンソーシアム八王子学生発表会要旨集, PJ02, 査読無(2024-12)
- (6) 遠藤祐弥, <u>米盛弘信</u>: "交流電池と組み合わせて使用する倍電圧整流回路における EDLC ユニットの構築", 第16回大学コンソーシアム八王子学生発表会要旨集, B128, 査読無(2024-12)準優秀賞
- (7) 中田悠介, <u>米盛弘信</u>: "模擬交流電池と直流 電池における発熱特性の検証", 第16回大学 コンソーシアム八王子学生発表会要旨集, PK01, 査読無 (2024-12)
- (8) 松崎恵太, <u>米盛弘信</u>: "直並列切換型アクティブ・バランス回路の製作に向けた DAB コンバータの効率改善", 第16回大学コンソーシアム八王子学生発表会要旨集, PI01, 査読無(2024-12)
- (9) 荒巻匡洋, <u>米盛弘信</u>: "交流電源を用いた交流電池充電システムの充電時間短縮", 2024 年(第42回)電気設備学会全国大会講演論文 集, 2D-16, 査読無, pp. 248-249, 東北工業 大学(2024-08)
- (10) 遠藤祐弥, <u>米盛弘信</u>: "交流電池と組み合わせる倍電圧整流回路に使用するEDLCの特性調査", 2024年(第42回)電気設備学会全国大会講演論文集, 2E-20, 査読無, p. 280, 東北工業大学(2024-08)
- (11) 中田悠介, 米盛弘信: "高温下における模擬

- 交流電池の充放電に伴う劣化の診断", 2024 年(第42回)電気設備学会全国大会講演論文 集, 1J-6, 査読無, pp. 499-500, 東北工業大 学(2024-08)全国大会優秀発表賞
- (12) 松崎恵太, <u>米盛弘信</u>: "直並列切換型アクティブ・バランス回路の提案と DAB コンバータの試作", 2024年(第42回)電気設備学会全国大会講演論文集, 2J-9, 査読無,
 - pp. 523-524, 東北工業大学 (2024-08)

令和7年3月31日現在

研究課題名:光学的手法による定量的密度分布測定に向けた装置改良および光学系配置の検討

研究代表者:廣瀬裕介

小区分:流体工学関連

1. 研究計画の概要

った超音速飛行が考えられる模型周りに発生する 密度変化を境界層も含めた高感度定量計測するこ とを実現する. そのため, Background Oriented Schlieren 法を改良した新たな計測法である Double-Pass Background Oriented Schlieren 法を 考案した. 本研究では考案した新たな計測手法に 関する実験を遂行するための装置の構築し, その

本研究では、超音速流中にある円錐や球体とい

2. 課題研究の進捗状況及び達成度

性能試験を実施することを目的としている.

上述した装置の具体案として,バリスティックレンジと衝撃風洞の2種類が挙げられる. 各装置に関する進捗状況を以下に記す.

まず、バリスティックレンジについて説明する. これは電気エネルギにより飛翔体を射出する装置 のことを表しており、2020年度まではスイッチン グのためにサイリスタを使用していたが、より高 い電圧に耐えられる絶縁ゲート型バイポーラトラ ンジスタ (IGBT) を採用したところ,不具合が 解消され、安定したスイッチングが可能となった. 改良した回路を用いて飛翔体の射出実験も実施し ている. コンデンサの充電電圧を 150 V, 飛翔体 のサイズを $5 \times 5 \times 5$ mm とした. 加速用のレー ルはアルミニウム, 飛翔体は銅を採用したことに より、溶着による減速を可能な限り防いだことに より、射出に成功した.飛翔体の速度はハイスピ ードカメラで撮影したところ約35 m/s であること が判明した. さらに、使用中のコンデンサは定格 が 400 V であるため、その定格電圧で充電をした 上での射出実験も実施した、飛翔体の射出には成 功したが、速度が 50 m/s であった。前述より、コ ンデンサの充電電圧を上昇させるだけでは飛翔体 速度の効率的な向上が望めないことが判明してい る. そこで、本年度は加速用のレールを水平配置 から垂直配置にする方法を提案し、研究を実施し

た。これは、昨年度までの水平配置の場合、飛翔 体は加速用レール以外に絶縁用のアクリル板の上 を接触していることから不要な抵抗が発生してい る状況を改良するための変更である。水平設置同 様、アクリル板などを利用し、絶縁状態であるこ とを確認しながらレールを水平設置することに成 功した。射出実験を複数回実施したところ、速度 の向上は認められなかったが、水平設置と比較し て、射出成功の割合(失敗する場合、飛翔体はレ ールに接触しない)が向上した。想定に反して速 度向上が認められなかった要因として、飛翔体の レール接触距離(割合)が上げられる。飛翔体は レールとの接触により寸法が小さくなる。しかし ながら、今回の研究ではレール間距離は上流と下 流で一定としたため、下流側で飛翔体とレールが 接触せず、速度向上が達成できなかったと考える。 今後は垂直に加速用レールを設置する方法は変え ず、上流と下流のそれぞれにおいて適切なレール 間距離を検討および、制御することを目的とする。

次に,衝撃風洞に関して記述する. 昨年度は衝 撃風洞の改良に向けた安価な無隔膜駆動部の作成 に注力した。本年度は、その衝撃風洞を用いた超 音速ノズルに関する研究及びシュリーレン光学系 構築に関する研究に注力した。まず、超音速のズ ルに関する研究では、現状のマッハ 1.5 前後の超 音速よりも速い流れを取得することを目的として 研究を実施した。その結果、マッハ 1.8 程度の超 音速が取得されたため、目的を達成したと言える。 さらに、超音速ノズルはその形状の特徴から、流 れの範囲(直径)が大きくなる。そのため、昨年 度よりも比較的大きな模型による可視化実験が可 能となることを示唆した。シュリーレン光学系の 設置では、昨年度では300mmであった凹面鏡の焦 点距離を500mmとして感度向上を狙った研究を実 施した。結果として感度向上を達成したが、目標 である、空気―空気の超音速流の可視化には感度 | が足りない結果が得られた。超音速風洞の高圧部

られるが、高価であることから、他の工夫を検討 している状態である。

3. 代表的な研究成果

〔学会発表〕(計9件)

○綿貫陸、松本陸大、廣瀬裕介、3Dプリンタに よる煙風洞用翼型模型の作成及び可視化実験翼 型の流れ解析におけるOpenFOAMの有効性と風洞 実験との補完、 C231 、第 16 回大学コンソーシ アム八王子学生発表会、 2024 年 12 月.

○木村大幹、廣瀬裕介、電磁加速式バリスティッ クレンジの飛翔体 レール間抵抗軽減に向けた実 験的研究、 C233 、第 16 回大学コンソーシアム 八王子学生発表会、 2024 年 12 月.

○北向輪光、廣瀬裕介、空き瓶パルスジェットエ ンジンの燃焼時間と温度の関係に関する研究、 C235 、第 16 回大学コンソーシアム八王子学生 発表会、 2024 年 12 月.

○中村麻柊、廣瀬裕介、Ene-1 MOTEGI GP 用バッ テリーの設計と性能評価 アクリルパイプを活用 した直並列回路の実装、 C237 、第 16 回大学コ ンソーシアム八王子学生発表会、 2024 年 12 月.

○猪狩優斗、山岸雅人、井川将大、湊慎司(千葉 大)、廣瀬裕介(サレジオ高専)、宇田川真介 (産技高専)、太田匡則(千葉大)、超音速風洞 における複数台カメラを用いた3次元密度計測、 1B2-1、2024年度衝撃波シンポジウム、2025年3 月.

○山岸雅人、野木住隆、堀尾大行、宮崎龍汰(千 葉大)、廣瀬裕介(サレジオ高専)、稲毛達朗 (湘南工科大)、太田匡則(千葉大)、大谷清伸 永井大樹 (東北大)、 弾道飛行装置を用いたはや ぶさカプセル模型周りの4次元密度場計測、 1B2-2、2024年度衝撃波シンポジウム、2025年3 月.

にヘリウムガスを使うといった変更が有効と考え┃○小笠原祐樹、野瀬成実(産技高専)、熊﨑大知 (都立大)、石橋歩武(農工大院)、山岸雅人 (千葉大)、廣瀬祐介(サレジオ高専)、稲毛達 朗(湘南工大)、太田匡則(千葉大)、嶋村耕平 (都立大)、宇田川真介(産技高専)、背景指向 型シュリーレンの光学系を用いた SSIM によるシ ャドーグラフ動画の生成、1B2-4、2024年度衝撃 波シンポジウム、2025年3月.

> ○野瀬成実、小笠原祐樹(産技高専)、熊崎大知 (都立大)、石橋歩武(農工大)、山岸雅人(千 葉大)、廣瀬祐介(サレジオ高専)、稲毛達朗 (湘南工大)、太田匡則(千葉大)、嶋村耕平 (都立大)、宇田川真介(産技高専)、 BOS 法 を用いた軸対称模型周りの流れ場の3次元再構成 および数値解析との定量的比較、P-03、2024年度 衝撃波シンポジウム、2025年3月.

> ○佐久間心、小笠原祐樹、野瀬成実(産技高専)、 石橋歩武(農工大)、山岸雅人(千葉大)、廣瀬 祐介(サレジオ高専)、稲毛達朗(湘南工大)、 太田匡則(千葉大)、宇田川真介(産技高専)、 SP-BOS 法における背景画像の傾きがシャドウグ ラフ的出力画像に与える影響、P-05、2024年度衝 撃波シンポジウム、2025年3月.